

Рис. 4. Среднеквадратичные пробивающие поля в воздухе на частоте 9,4 ГГц; Δ — диффузионная длина.

если ср. энергия электрона \bar{E} порядка I , т. е. \bar{E} не меняется, и, следовательно, $E \propto p$. При низких p , когда $v_m \ll \omega$, очень сильна диффузия, и чтобы произошёл пробой (т. е. было выполнено условие $v_i = v_d \approx 1/p$), поле должно возрастать при уменьшении p . Минимум соответствует такому p , когда $v_m \approx \omega$. Для СВЧ-диапазона $p_{min} \sim 1-10$ тор, $E_{min} \sim 10^2-10^3$ В/см. В качестве отношения сказанное справедливо и для оптич. пробоя, но для оптич. частот $p_{min} \sim 10^3$ атм (см. *Оптические разряды*). При понижении частоты в ВЧ-диапазоне амплитуды дрейфовых колебаний могут оказаться сравнимыми с размерами сосуда. Тогда электроны начинают ударяться о стенки, их потери и порог пробоя скачкообразно возрастают.

Тлеющий разряд. Неотъемлемым элементом тлеющего разряда является катодный слой положительного *пространственного заряда* с сильным полем у катода ($E/p_k \sim 10^3$ В/(см·тор) и значит, катодным падением потенциала $V_k \sim 150-400$ В. Именно им обусловлено т. н. отрицательное тлеющее свечение за катодом, откуда и название разряда. Положит. плазменный столб играет роль проводника, соединяющего катодные части разряда с анодом (рис. 5). При уменьшении расстояния между электродами сначала сокращается именно он, потом фарадеево тёмное пространство (см. *Тлеющий разряд*), а катодный слой не изменяется, и лишь когда не хватает места для него (и отчасти для отриц. свечения), горение разряда сильно затрудняется. Разряд может гореть и в сосудах замысловатой формы. Вследствие оседания электронов на стенах возникает дополнит. поле, к-рое векторно складывается с внешним. Силовые линии результирующего поля, протягиваясь от анода к катоду, повторяют все изгибы трубы.

Самоподдержание тока в тлеющем разряде осуществляется за счёт катодного слоя, благодаря неравномерному распределению потенциала между электродами (рис. 5). Часть межэлектродного промежутка заполняет хорошо проводящий столб со слабым полем $E/p \sim 1-10$ В/(см·тор). Тем самым сокращается толщина области d , где должно происходить

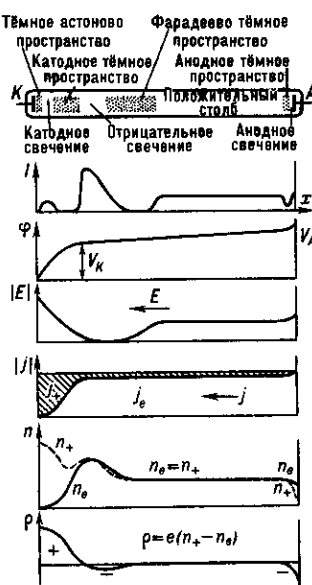


Рис. 5. Структура тлеющего разряда в трубке. Показаны распределения интенсивности свечения I , потенциала ϕ , поля E , плотностей электронного j_e и ионного j_+ токов, плотностей ионов n_+ и электронов n_e , плотности объёмного заряда $\rho = e(n_+ - n_e)$.

размножение электронов и осуществляется самоподдержание тока. Уменьшение d приводит к наиб. выгодным для размножения условиям, отвечающим минимуму напряжения на кривых Пашена (рис. 3) и ф-лам (5).

Когда ток занимает не весь катод, плотность тока на катоде j_k имеет вполне определённое «нормальное» значение, удовлетворяющее закону подобия:

$$j_k/p^2 = (1 + \gamma) \mu + p V_n^2 / 4\pi(pd)_n^2, \quad (6)$$

где $V_n \approx 1,1 V_{min}$, $(pd)_n \approx 1,4 (pd)_{min}$. Обычно $V_n \approx 150-400$ В, $(pd)_n \approx 0,5-1$ тор·см, $j_k/p^2 \approx 10-500$ мА/см²·тор². При увеличении тока растёт площадь свечения на катоде, а j_k , V_n остаются неизменными (участок *DE* на ВАХ, рис. 1). Такой разряд наз. нормальным. Когда свечение занимает весь катод, j_k , V_n и V при росте тока возрастают. Это — аномальный разряд (участок *EF* на рис. 1).

В любом сечении длинного однородного положит. столба ионизация компенсирует гибель электронов за счёт рекомбинации, амбиполярной диффузии к стенкам, прилипания (к-рое может частично компенсироваться отлипанием). Этим определяется зависимость поля в столбе от плотности зарядов в плазме (эквивалент ВАХ столба). При сильном нагреве газа ВАХ — падающая. В тлеющем разряде возникают разл. неустойчивости. Наиб. распространена ионизационно-перегревная, связанная с увеличением частоты ионизации при тепловом расширении газа, вызванном случайным локальным перегревом. Рост V_n ведёт к увеличению n_e , дополнит. тепловыделению jE и дальнейшему росту T . Эта неустойчивость вызывает *контракцию газового разряда* — стягивание разряда в токовый шнур. Др. неустойчивости приводят к возникновению *страт* — расслоению положит. столба вдоль тока на сильно и слабо ионизованные участки. Чаще всего стратыбегут от анода к катоду и глазом не видны (см. также *Низкотемпературная плазма*).

Дуговой разряд. Его отличит. черта — малость катодного падения, $V_k \sim 10$ В. Разогретый интенсивным потоком ионов катод или его токонесущие участки (катодные пятна) испускают достаточно сильный электронный ток. Плазма положит. столба дугового разряда при атм. давлении равновесна, её проводимость определяется темп-рой T . Поле в столбе E и ВАХ $E(j)$ определяются балансом энергии: джоулево тепло $\sigma(T)E$ выносится за счёт теплопроводности к охлаждаемым стенкам (если дуга горит в трубке), либо рассеивается в пространстве (дуга в свободной атмосфере). Типичным примером последнего является дуга с угольными электродами в воздухе (рис. 6). ВАХ

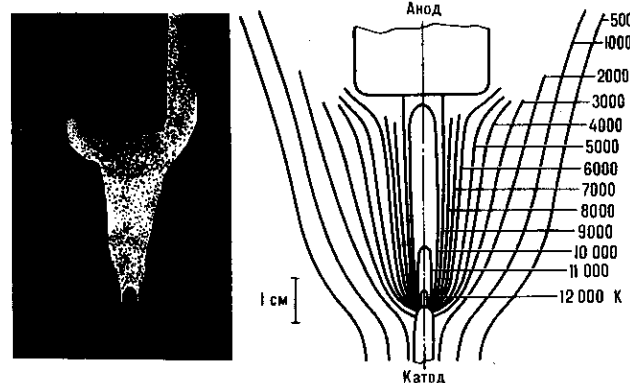


Рис. 6. Угольная дуга в воздухе при $i = 200$ А: слева — фотография, полученная методом Тёмпера; справа — измеренное поле температур.

столба и всей дуги падающая (рис. 7). Напряжение горения дуги складывается из напряжения на положит. столбе, пропорционального его длине, катодного ($V_k \sim 10$ В) и анодного падений напряжения. Когда на аноде образуется анодное пятно с $j \approx 5 \cdot 10^4$ А/см², анодное напряжение